

# MATURATION :

## Algorithmes PIC sur grilles parcimonieuses massivement parallèles pour la simulation des plasmas froids hors-équilibres

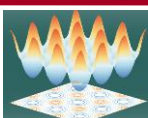
ANR-22-CE46-0012

### CE46 - Modèles numériques, simulation, applications

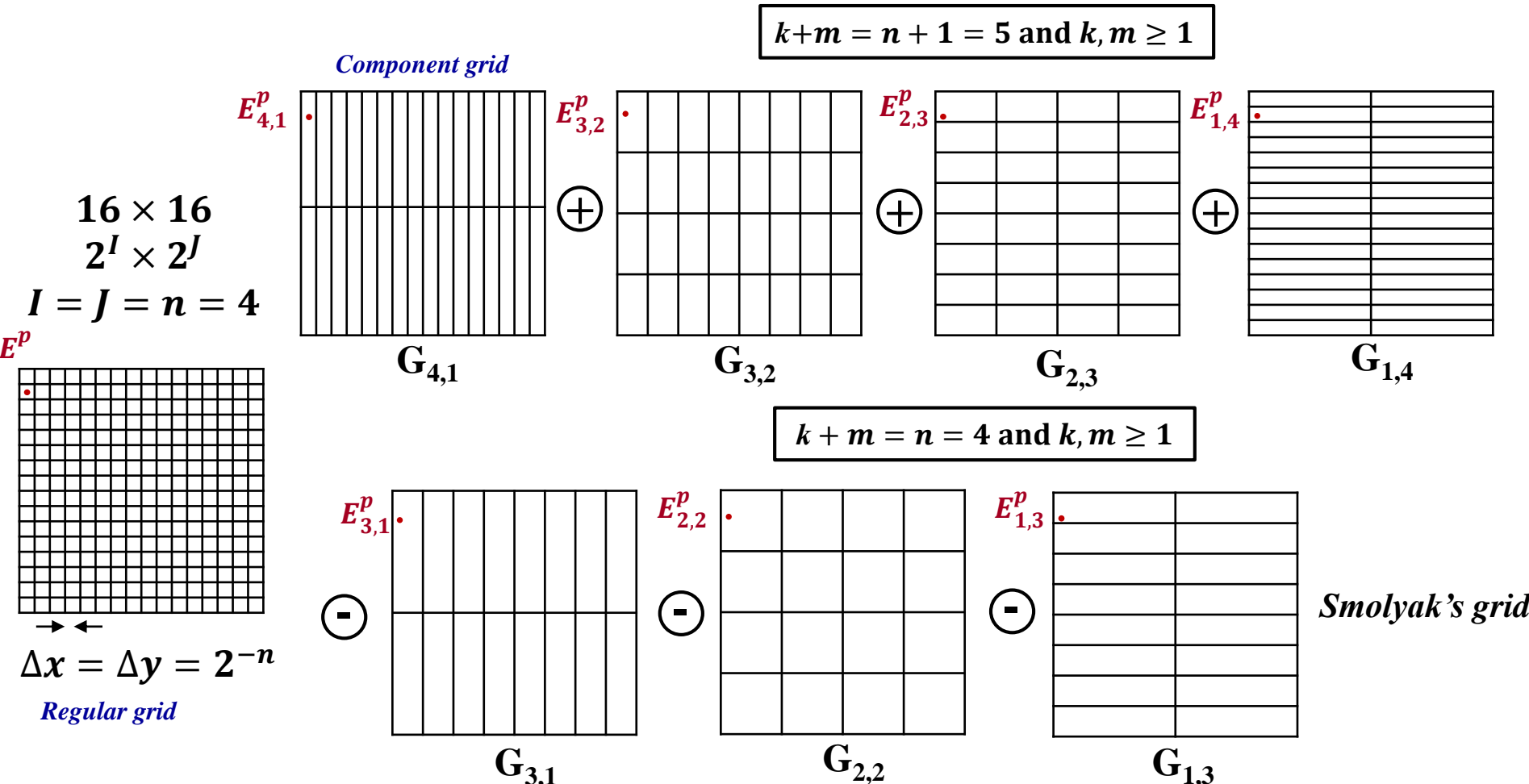


DUREE : 2023 - 2026 (4 ANS)  
BUDGET : 1 341 072 €  
AIDE : 355 470 €

label

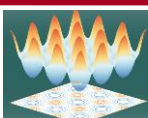


# Décomposition en grilles de composantes

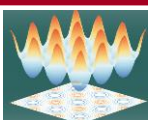
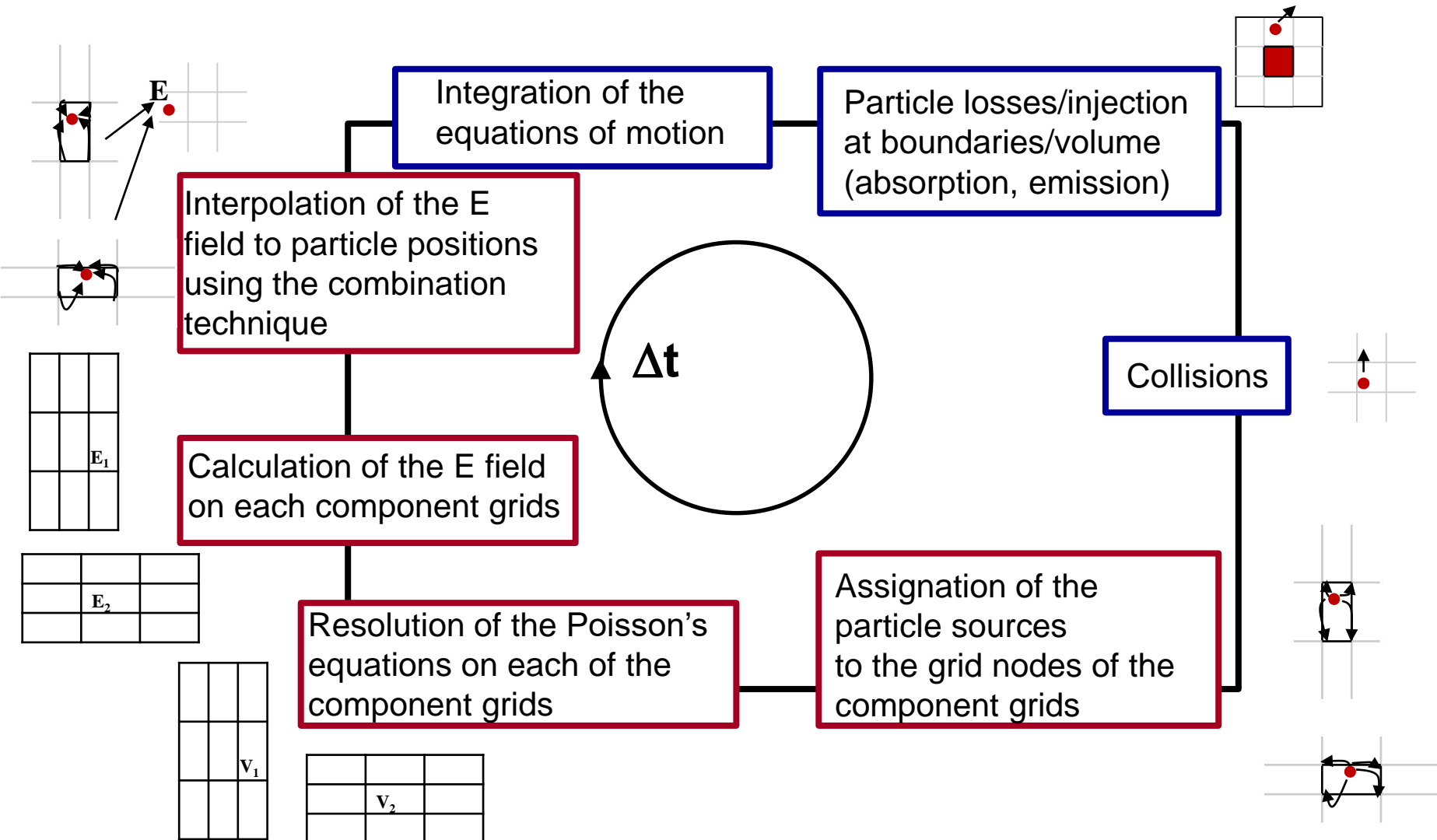


Combination technique

$$E^p \cong \sum_{k+m=n+1} E_{k,m}^p - \sum_{k+m=n} E_{k,m}^p$$

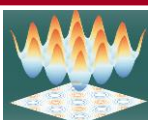
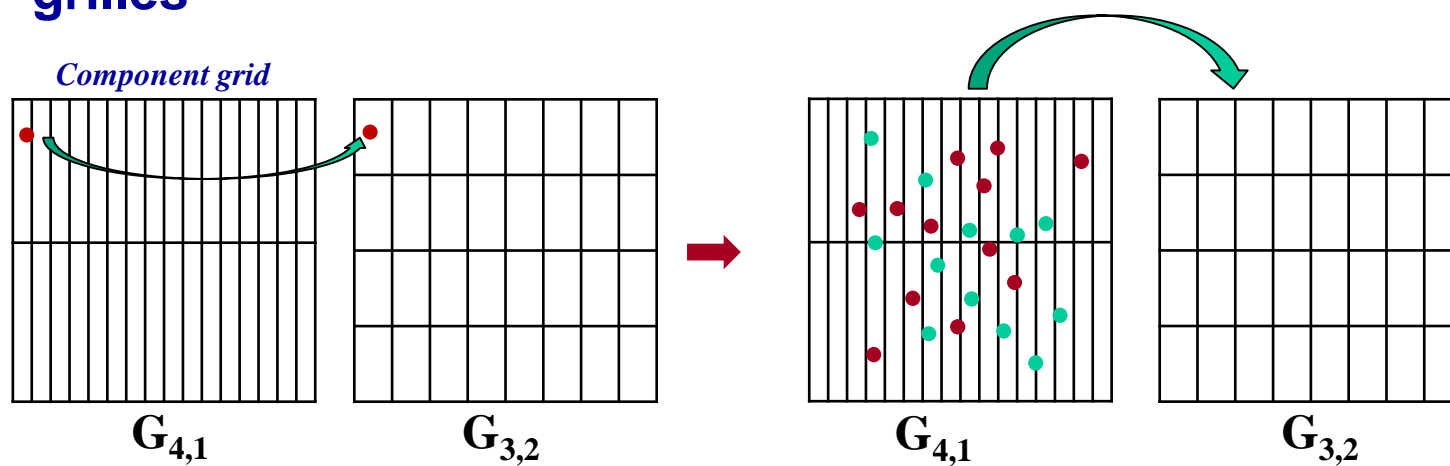


# Cycle sparse-PIC



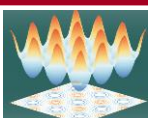
# Base du code de Clément Guillet

- **Code 3D en mémoire partagée (OpenMP)**
- **Recombinaison du potentiel sur la grille cartésienne**
- **Gestion optimisée dépôt de charge des particules sur les sous grilles**

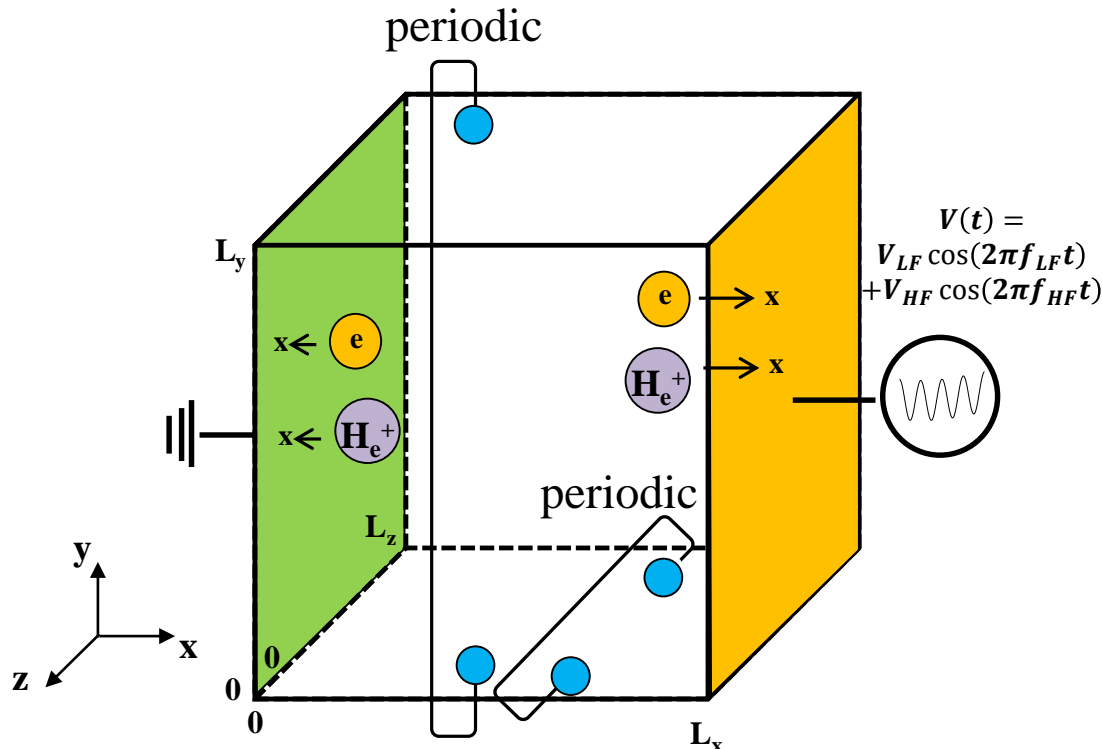


# Modifications apportées - mineures

- **Atomic : reduction à la place (utile jusqu'à n = 9)**
- **Solveur Poisson (Pardiso) : solveur direct, meilleure maîtrise**
- **Pusher: adimensionnement des équations de transport**
- **Conditions aux limites Dirichlet**
- **Pertes aux parois (CdL non périodiques)**
- **Injection de particules**
- **Collisions**
- **Thermalisation des électrons**
- **Prise en compte d'un champ magnétique**
- **Application à un cas test – Olympe – 1 proc 18 cœurs (OpenMP)**



# Simulations 3D quasi-1D



## Discharge characteristics

electrons, Helium ions

Initial electron temperature (eV)	3	3
Initial ion temperature (K)	300	300
Initial neutral temperature (K)	300	300
Frequency $f_{LF}$ (MHz)	2	2
Frequency $f_{HF}$ (MHz)	20	60

Electron-neutral collisions

Ion-neutral collisions

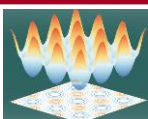
No SEE at the walls

## Initial conditions

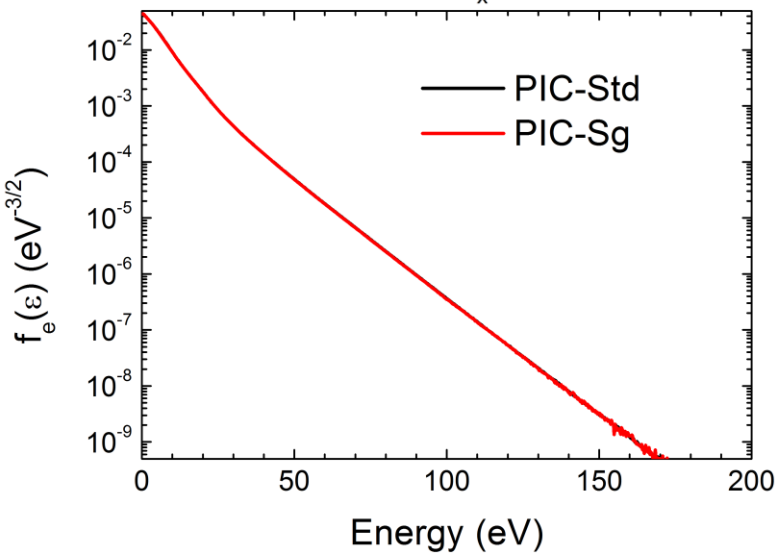
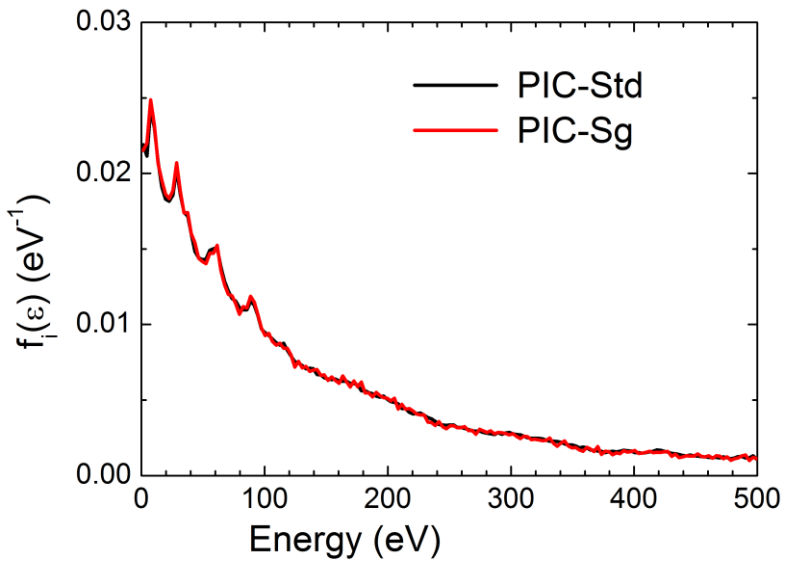
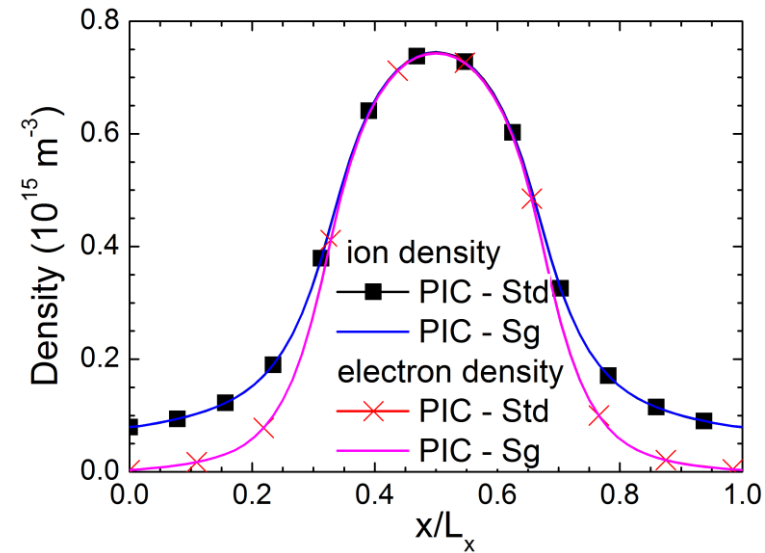
Neutral density ( $10^{21} \text{ m}^{-3}$ )	1.4	0.36
Pressure (Pa)	~6	~1.5
Initial plasma density ( $10^{14} \text{ m}^{-3}$ )	3.5	5.0
Voltage $V_{LF}$ (V)	600	400
Voltage $V_{HF}$ (V)	450	200

## Simulation conditions

$L_x, L_y, L_z$ (cm)	6.7	6.7
Number of grid cells (standard)	$64^3$	$128^3$
Time step ( $\text{s}^{-1}$ )	$(800f)^{-1}$	$(200f)^{-1}$
$N_{PC}$	128	64
$N_{\text{total standard}}$ (millions)	~34	~134
$N_{\text{total sparse}}$ (millions)	~1.2	~1.7



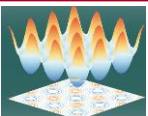
# Results @ 20 MHz



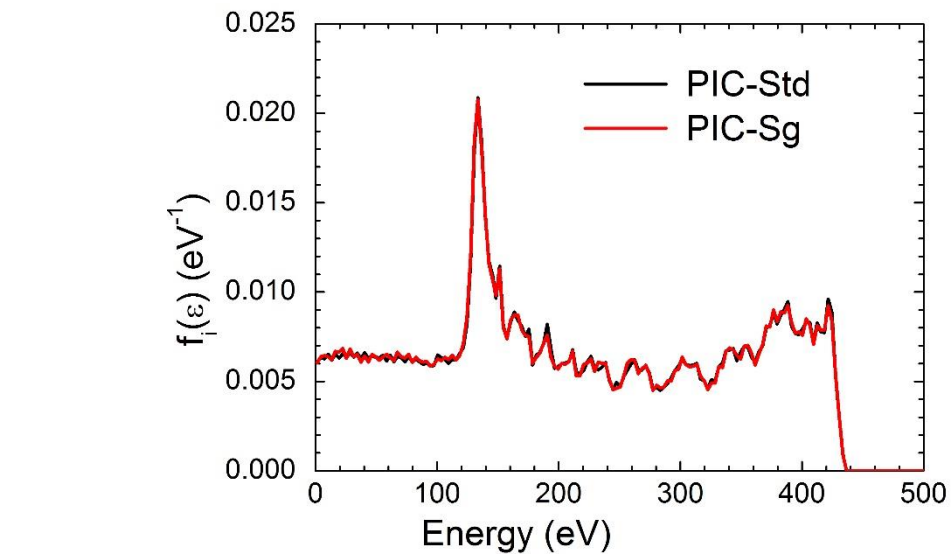
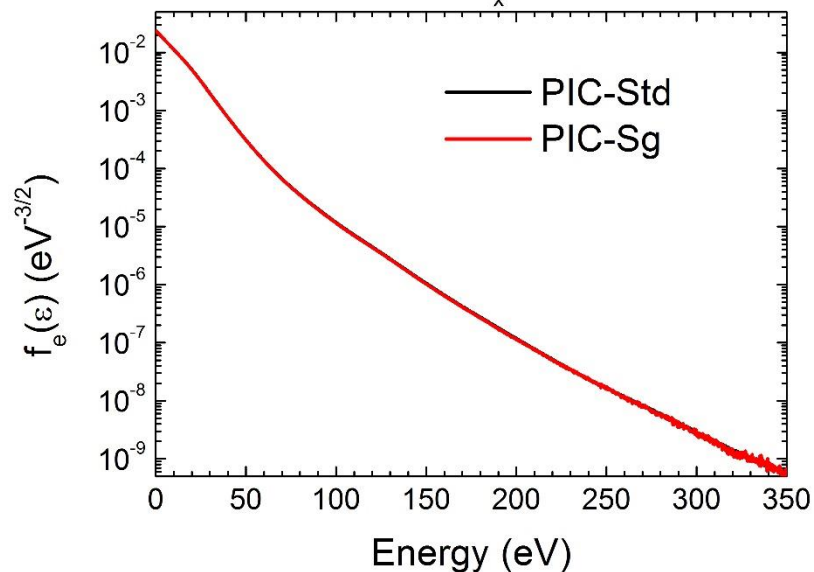
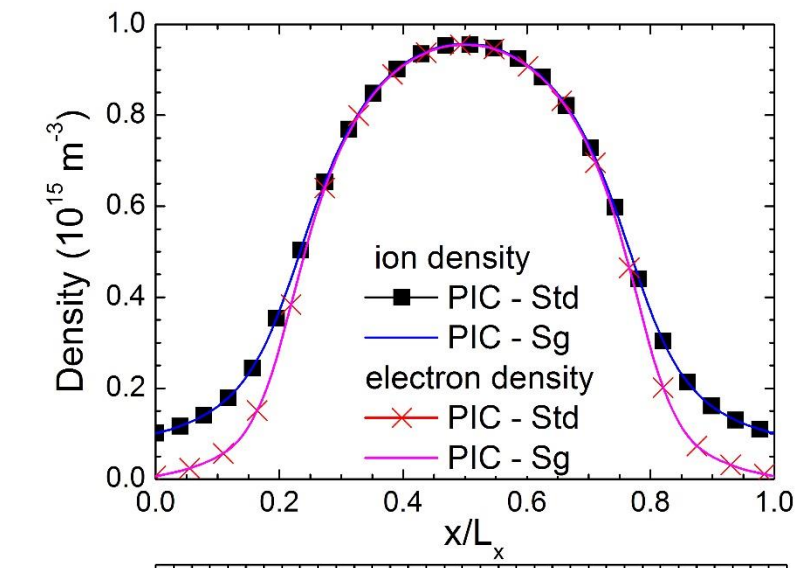
$$\epsilon(\varphi) = \frac{\|\varphi - \varphi_{\text{ref}}\|_{L^2}}{\|\varphi_{\text{ref}}\|_{L^2}} = \sqrt{\frac{\int |\varphi - \varphi_{\text{ref}}|^2 du}{\int |\varphi_{\text{ref}}|^2 du}}$$

Error (%)	
$n_i$	0.18
$n_e$	0.19
EEDF	0.08
IEDF	0.26

Speed up ~ 5



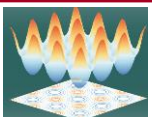
# Results @ 60 MHz



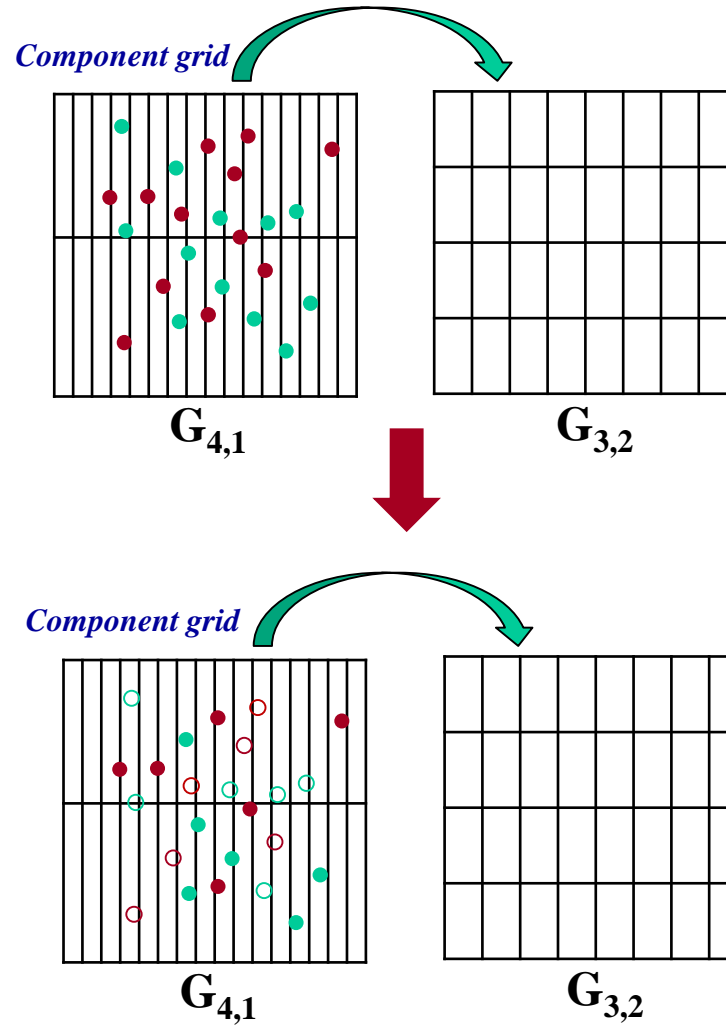
$$(\varphi) = \frac{\|\varphi - \varphi_{\text{ref}}\|_{L^2}}{\|\varphi_{\text{ref}}\|_{L^2}} = \sqrt{\frac{\int |\varphi - \varphi_{\text{ref}}|^2 du}{\int |\varphi_{\text{ref}}|^2 du}}$$

Error (%)	
$n_i$	0.4
$n_e$	0.5
EEDF	0.05
IEDF	0.23

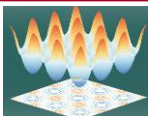
Speed up ~ 15



# Extension MPI/OpenMP du code 3D



**Reduction en plus - MPI**



# Scaling – avec vectorisation projection, TGCC

